



# TERZA CAMPAGNA DI MONITORAGGIO DELLA QUALITÀ DELL'ARIA CON LABORATORIO MOBILE

---

**Gioia del Colle**  
**22.11.2019 – 17.02.2020**

## **ARPA Puglia**

**Centro Regionale Aria**

Ufficio Qualità dell'Aria di Bari  
Corso Trieste 27 – Bari

Rev.	Elaborazione dati	Redazione	Verifica	Data
1	Dott.ssa Livia Trizio Dott.ssa Fiorella Mazzone Dr. Paolo Dambruoso	D.ssa Livia Trizio	Dr. Lorenzo Angiuli	Settembre 2022

## INDICE

1. Contenuto del Report	pag. 3
1.1 Scopo del monitoraggio	pag. 3
1.2 Sito di monitoraggio	pag. 4
1.3 Inquinanti monitorati	pag. 4
1.4 Parametri meteorologici rilevati	pag. 4
1.5 Riferimenti normativi	pag. 5
1.6 Tabella dei parametri metereologici	pag. 5
1.7 Rosa dei venti	pag.8
2. PM <sub>10</sub>	pag. 8
3. NO <sub>2</sub>	pag. 9
4. Ozono	pag. 12
5. Benzene	pag. 12
6. SO <sub>2</sub>	pag. 14
7. CO	pag. 15
8. Conclusioni	pag. 17
<b>Allegato 1</b> Efficienza di campionamento	pag. 18
<b>Allegato 2</b> Informazione sulla strumentazione e sulle metodologie	pag. 19

## 1. Contenuto del Report

### Richiedente

La campagna di monitoraggio della qualità dell'aria è stata effettuata da ARPA Puglia in seguito a una richiesta del Comune di Gioia del Colle (Prot. 62121 del 03/09/2019) per un monitoraggio in Via Tango, al fine di valutare le ricadute industriali sulla città.

### Sito di monitoraggio

Il monitoraggio è stato svolto nel Comune di Gioia del Colle, in Via Valerio Tango.

### Periodo di monitoraggio

22/11/2019– 17/02/2020

### Cronologia della campagna di monitoraggio

La campagna di monitoraggio è stata condotta con il laboratorio mobile ARPA installato su veicolo FIAT DUCATO targato CK711RT. Prima dell'avvio della campagna sono state effettuate le operazioni di calibrazione degli strumenti da parte dei tecnici di Project Automation S.p.A..

### Gruppo di lavoro

I dati sono stati gestiti, validati ed elaborati secondo il protocollo interno di ARPA Puglia, dalla dott.ssa Fiorella Mazzone, dalla dott.ssa Livia Trizio e dal dott. Paolo Rosario Dambruoso, con il coordinamento del dott. Lorenzo Angiuli, P.O. del Centro Regionale Aria di ARPA Puglia.

### 1.1 Scopo del monitoraggio

La campagna di monitoraggio aveva lo scopo di approfondire lo stato delle conoscenze del livello della qualità dell'aria nel territorio di Gioia del Colle, in seguito alle due campagne già effettuate nell'ambito della Convenzione tra Comune di Gioia del Colle e ARPA Puglia, anche al fine di verificare l'impatto delle sorgenti emissive ivi presenti.

### 1.2 Sito di monitoraggio

Di seguito è mostrato il sito di monitoraggio.



Figura 1. Sito di monitoraggio

### 1.3 Inquinanti monitorati

Il laboratorio mobile utilizzato nella campagna di monitoraggio è dotato di analizzatori automatici per il campionamento e la misura in continuo degli inquinanti chimici individuati dalla normativa vigente in materia, ovvero: particolato (PM<sub>10</sub>), ossidi di azoto (NO<sub>x</sub>), ozono (O<sub>3</sub>), benzene (C<sub>6</sub>H<sub>6</sub>), biossido di zolfo (SO<sub>2</sub>) e monossido di carbonio (CO).

### 1.4 parametri meteorologici rilevati

Il laboratorio mobile permette altresì la misurazione dei seguenti parametri meteorologici: temperatura (°C), Direzione Vento Prevalente (DVP), Velocità Vento prevalente (VV, m/s), Umidità relativa (%), Pressione atmosferica (mbar), Radiazione solare globale (W/m<sup>2</sup>), Pioggia (mm).

### 1.5 Riferimenti normativi

I valori limite di NO<sub>2</sub>/NO<sub>x</sub>, PM<sub>10</sub>, benzene, Ozono e biossido di zolfo sono fissati dal D. Lgs. 155/10. Tale decreto stabilisce sia valori limite annuali per la protezione della salute umana e degli ecosistemi, sia valori limite giornalieri o orari. Questi ultimi limiti, detti *short-term*, sono volti a contenere episodi acuti di inquinamento: a essi è infatti associato sia un numero massimo di superamenti da registrare nel corso dell'anno, sia un margine di tolleranza che decresce gradualmente fino al raggiungimento del valore fissato.

## 1.6 Tabella parametri meteorologici

Nella tabella seguente sono riportati valori medi giornalieri di temperatura, direzione vento prevalente, velocità vento e umidità relativa.

	<b>VV</b>	<b>DV</b>	<b>UMR</b>	<b>TEMP.</b>
<b>Data</b>	<b>m/s</b>	<b>SETTORE</b>	<b>%</b>	<b>gradi C.</b>
22/11/2019	1,74	SE	79,3	10,6
23/11/2019	4,36	ESE	84,0	12,8
24/11/2019	4,92	E	94,8	13,0
25/11/2019	1,25	NO	98,3	11,1
26/11/2019	1,39	NO	90,9	11,5
27/11/2019	2,18	SE	87,1	11,5
28/11/2019	2,57	SE	78,3	13,0
29/11/2019	1,95	SSO	70,3	12,7
30/11/2019	2,18	NO	77,8	11,1
01/12/2019	1,71	SE	81,3	9,1
02/12/2019	3,02	SE	89,2	11,7
03/12/2019	2,62	NO	83,9	10,2
04/12/2019	2,72	NO	71,4	6,4
05/12/2019	0,73	NO	88,2	6,8
06/12/2019	0,49	NO	98,4	10,9
07/12/2019	1,48	OSO	84,0	11,2
08/12/2019	0,83	SSE	80,7	10,9
09/12/2019	1,96	SE	90,2	10,2
10/12/2019				
11/12/2019				
12/12/2019				
13/12/2019	3,51	SE	81,8	7,9
14/12/2019	4,07	ONO	74,5	8,0
15/12/2019	1,90	SSE	67,4	8,8
16/12/2019	3,83	ESE	94,7	12,2
17/12/2019	6,45	ESE	89,4	12,9
18/12/2019	6,20	ESE	89,9	13,7
19/12/2019	6,99	ESE	89,0	13,9
20/12/2019	3,56	ESE	77,6	13,0
21/12/2019	4,49	ESE	79,3	12,7
	<b>VV</b>	<b>DV</b>	<b>UMR</b>	<b>TEMP.</b>
<b>Data</b>	<b>m/s</b>	<b>SETTORE</b>	<b>%</b>	<b>gradi C.</b>

22/12/2019	4,45	ESE	78,1	12,4
23/12/2019	3,95	ONO	73,9	8,7
24/12/2019	4,27	ONO	67,2	8,7
25/12/2019	1,87	NO	70,2	7,0
26/12/2019	3,20	ONO	72,2	7,2
27/12/2019	2,42	NO	66,6	6,4
28/12/2019	3,57	NO	81,2	4,2
29/12/2019	3,38	ONO	72,9	3,8
30/12/2019	2,38	ONO	63,9	3,6
31/12/2019	3,52	ONO	69,2	5,0
01/01/2020	3,82	ONO	70,7	7,1
02/01/2020	2,72	ONO	73,5	6,1
03/01/2020	1,61	O	69,8	6,1
04/01/2020	1,98	ONO	74,3	5,4
05/01/2020	5,51	ONO	62,5	6,4
06/01/2020	4,16	ONO	52,2	3,9
07/01/2020	3,28	ONO	66,0	5,0
08/01/2020	2,44	NO	73,0	6,1
09/01/2020	1,54	ONO	75,1	5,8
10/01/2020	0,90	NO	73,9	4,5
11/01/2020	2,70	NO	79,2	7,2
12/01/2020	2,60	ONO	82,5	7,0
13/01/2020	1,06	N	79,7	7,2
14/01/2020	0,76	S	83,1	6,8
15/01/2020	1,27	NO	81,4	5,4
16/01/2020	3,15	N	79,9	7,1
17/01/2020	2,09	ONO	79,8	6,0
18/01/2020	1,33	SSE	80,2	5,2
19/01/2020	2,57	ONO	82,9	6,8
20/01/2020	1,91	ONO	84,0	6,8
21/01/2020	2,24	ONO	76,6	5,9
22/01/2020	1,53	ONO	78,9	5,0
23/01/2020	1,92	N	81,6	5,4
24/01/2020	2,75	ESE	78,7	6,3
25/01/2020	1,80	S	77,8	8,8
26/01/2020	2,24	SE	91,1	9,8
27/01/2020	2,17	ONO	77,7	8,2
	<b>VV</b>	<b>DV</b>	<b>UMR</b>	<b>TEMP.</b>
<b>Data</b>	<b>m/s</b>	<b>SETTORE</b>	<b>%</b>	<b>gradi C.</b>

28/01/2020	2,43	S	69,1	9,5
29/01/2020	3,25	OSO	63,6	11,2
30/01/2020	1,93	OSO	67,9	8,1
31/01/2020	1,19	S	70,5	9,0
01/02/2020	1,33	SSE	70,9	10,1
02/02/2020	1,33	NO	72,7	11,6
03/02/2020	1,63	SSE	73,7	11,3
04/02/2020	4,02	SSE	85,1	10,1
05/02/2020	9,33	NO	68,8	5,4
06/02/2020	6,77	ONO	56,7	4,1
07/02/2020	4,26	ONO	61,2	5,6
08/02/2020	1,41	ONO	64,4	6,7
09/02/2020	1,65	S	72,4	6,9
10/02/2020	2,26	SSE	76,2	9,1
11/02/2020				
12/02/2020				
13/02/2020	2,40	ESE	62,8	8,6
14/02/2020	3,89	SE	85,5	8,5
15/02/2020	3,88	NO	71,5	7,9
16/02/2020	0,97	ONO	66,3	7,2
17/02/2020	0,98	S	67,3	8,9

Tab. 1 Dati meteorologici nel periodo di monitoraggio

### 1.7 Rosa dei venti

Di seguito, si riporta il grafico della rosa dei venti rilevati nell'intero periodo della campagna di monitoraggio: si è osservata una prevalenza dei venti dai quadranti ONO e S-ESE (con le occorrenze dettagliate nella tabella).

Stazione: Mezzo Mobile Monitor DV Data inizio: 22/11/2019 Data fine: 17/02/2020

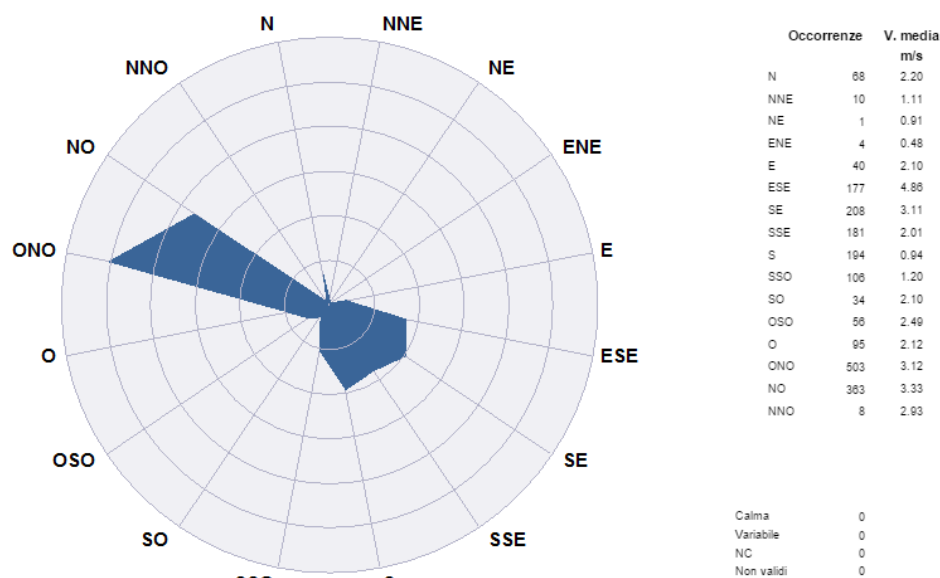


Figura 3. Rosa dei venti nel periodo di monitoraggio

## 2. PM10

Il particolato sospeso è costituito dall'insieme di tutto il materiale non gassoso, solido, presente in sospensione nell'aria. La natura delle particelle di cui esso è composto è molto varia: ne fanno parte sia le polveri sospese, materiale di tipo organico disperso dai vegetali (pollini o frammenti di piante), materiale di tipo inorganico prodotto da agenti naturali come vento e pioggia, oppure prodotto dall'erosione del suolo o dei manufatti. Nelle aree di tipo urbano il materiale particolato può invece avere origine dall'usura dell'asfalto o dei pneumatici e dalle emissioni di scarico degli autoveicoli. In particolare, un considerevole contributo all'inquinamento da polveri sospese è dovuto proprio al traffico autoveicolare: le particelle emesse in atmosfera costituiscono un veicolo di trasporto e di diffusione di altre sostanze nocive. Con il termine PM10 viene definita la frazione totale di particelle aventi diametro aerodinamico inferiore a 10  $\mu\text{m}$ . La determinazione della concentrazione di PM10 durante la campagna di monitoraggio è stata realizzata mediante un campionatore biorario MP101M. Il principio su cui esso si basa è rappresentato dall'attenuazione delle radiazioni di tipo  $\beta$  generate da una sorgente radioattiva  $^{14}\text{C}$  interna allo strumento.

Il grafico seguente riporta le concentrazioni medie giornaliere registrate nel sito in esame durante la campagna di monitoraggio. Si è verificato un solo superamento del limite giornaliero di  $50 \mu\text{g}/\text{m}^3$  nella giornata del 20 dicembre. In tale giornata la Regione è stata soggetta a fenomeni di avvezioni sahariane. Gli eventi sono stati individuati mediante le carte elaborate dal modello Prev'Air e le back-trajectories del modello HYSPLIT. Tale fenomeno ha portato al superamento del valore limite di PM10 in molte stazioni di monitoraggio. In accordo alla Direttiva sulla Qualità dell'Aria 2008/50/CE, per tale giorno è stato effettuato lo scorporo del contributo naturale dalla concentrazione di PM10 registrata, che ha portato a un numero di superamenti pari a zero. La concentrazione media dei dati validi di PM10 durante il periodo di monitoraggio è stata pari a  $13 \mu\text{g}/\text{m}^3$ , ampiamente inferiore al limite (da calcolare su base annuale) di  $40 \mu\text{g}/\text{m}^3$ .

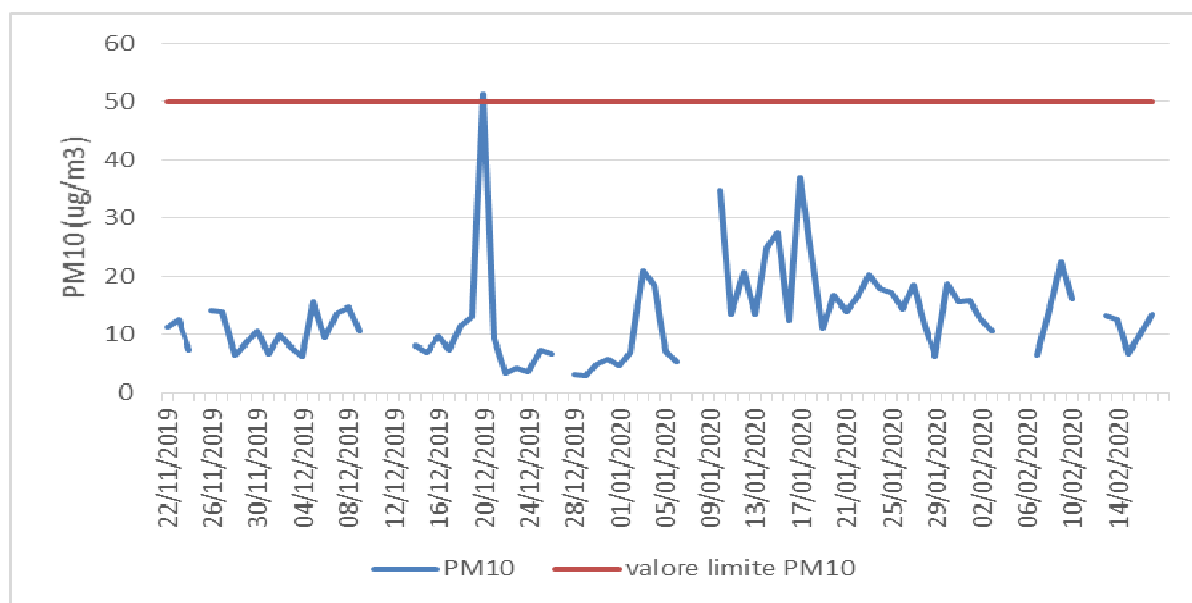


Figura 2. PM10: media giornaliera

### 3. NO<sub>2</sub>

Gli ossidi di azoto, NO, NO<sub>2</sub>, N<sub>2</sub>O etc. sono generati nei processi di combustione. Tra tutti, il biossido di azoto (NO<sub>2</sub>), è da ritenersi il maggiormente pericoloso perché costituisce il precursore di una serie di reazioni di tipo fotochimico che portano alla formazione del cosiddetto "smog fotochimico". In ambito urbano, un contributo rilevante all'inquinamento da NO<sub>2</sub> è dovuto alle emissioni dagli autoveicoli. L'entità di queste emissioni può variare in base sia alle caratteristiche ed allo stato del motore del veicolo, sia in base alla modalità di utilizzo dello stesso. In generale,

l'emissione di ossidi di azoto è maggiore quando il motore funziona ad elevato numero di giri e cioè in arterie urbane non a scorrimento veloce e che impongono continui cambi di velocità.

Il D. Lgs. 155/10 fissa un limite orario di 200  $\mu\text{g}/\text{m}^3$  da non superare più di 18 volte nell'anno solare e un limite sulla media annuale di 40  $\mu\text{g}/\text{m}^3$ .

Nel grafico seguente sono riportati i valori delle medie giornaliere registrati durante la campagna di monitoraggio. La concentrazione media dei dati validi di  $\text{NO}_2$  durante il periodo di monitoraggio è stata di 16  $\mu\text{g}/\text{m}^3$ , inferiore al limite (da calcolare su base annuale) di 40  $\mu\text{g}/\text{m}^3$ .

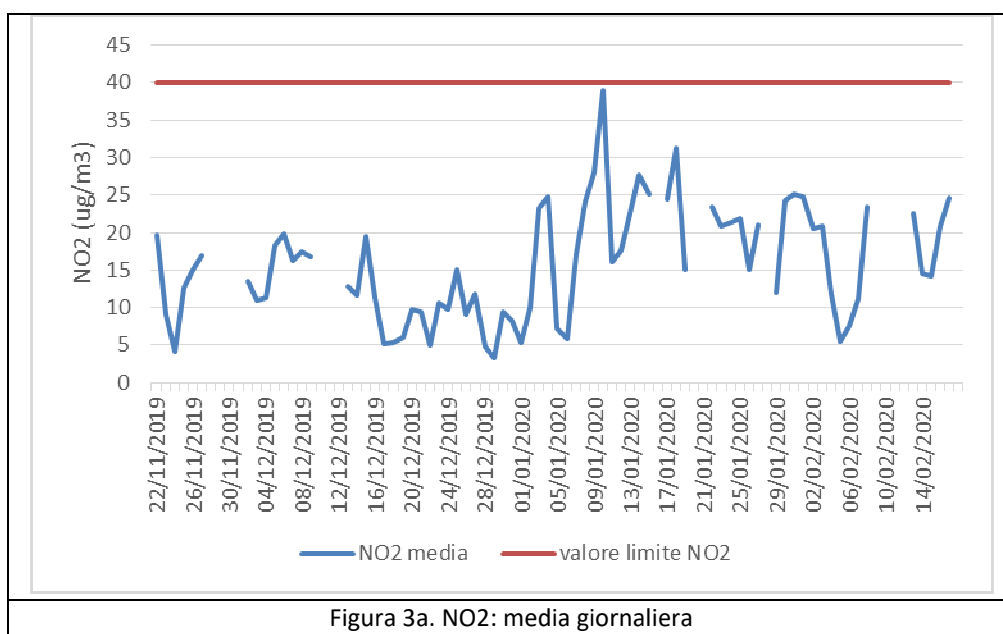


Figura 3a. NO2: media giornaliera

Nel grafico di seguito sono riportati i valori del massimo orario giornaliero registrati durante la campagna di monitoraggio. Come si osserva, non si è verificato nessun superamento del valore limite orario di 200  $\mu\text{g}/\text{m}^3$ .

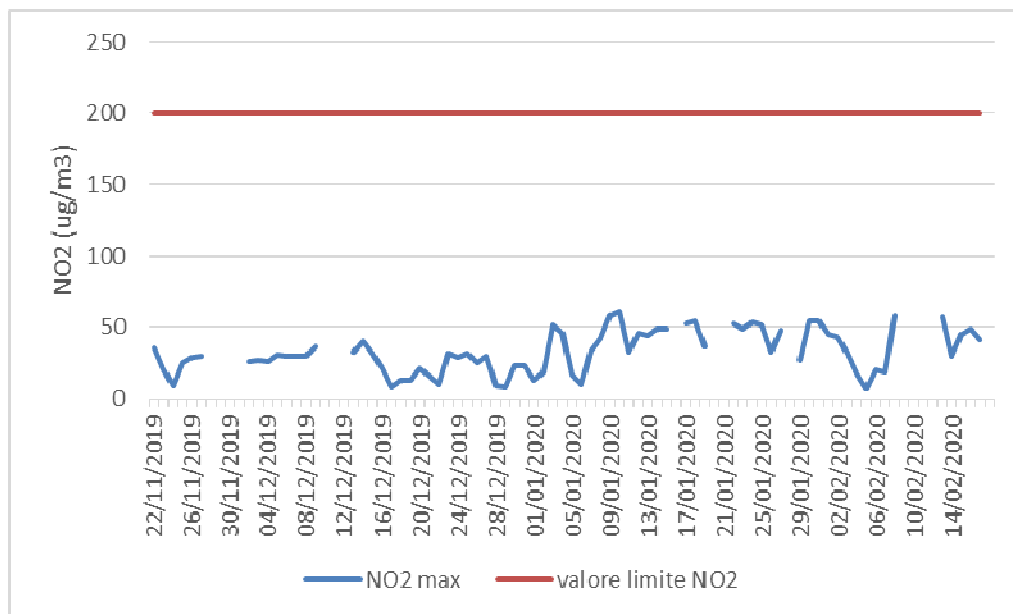


Figura 3b. NO<sub>2</sub>: massimo giornaliero della media oraria

Di seguito è mostrato il giorno tipo per l'NO<sub>2</sub>. Dal grafico si evince come le concentrazioni maggiori vengono rilevate nelle ore di punta di traffico veicolare, ovvero tra le 9 e le 10 della mattina e tra le 19 e le 21 della sera.

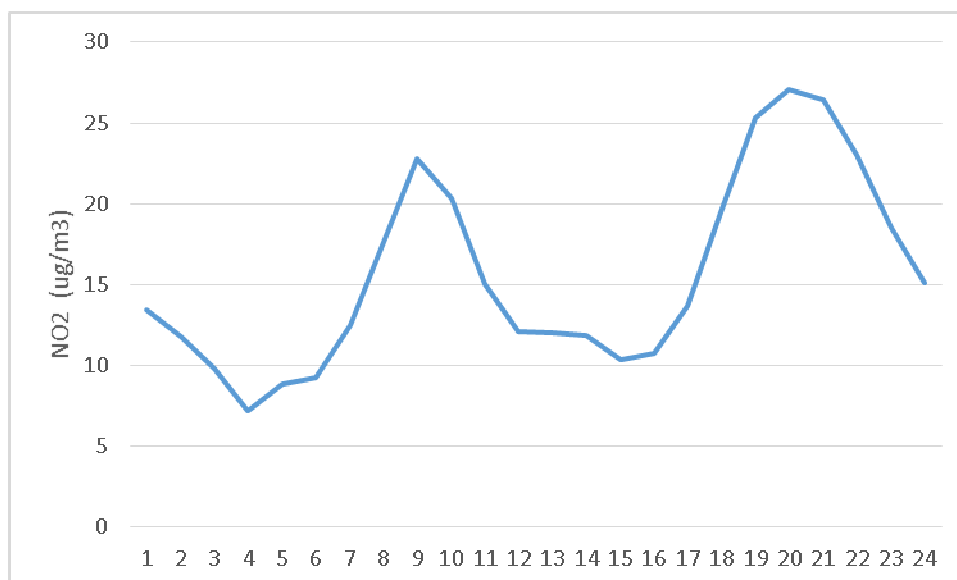


Figura 3c. NO<sub>2</sub>: giorno tipo

#### 4. Ozono

A causa di possibili impatti sulla salute umana, l'ozono, assieme all' $\text{NO}_2$  e al  $\text{PM}_{10}$ , è uno degli inquinanti di maggiore rilevanza. Esso non ha sorgenti dirette ma si forma all'interno di un ciclo di reazioni di tipo fotochimico che coinvolgono in particolare gli ossidi di azoto ed i composti organici volatili. La concentrazione in atmosfera dell'ozono, inoltre, risente dell'influenza di vari fattori quali, ad esempio, la persistenza di periodi di elevata insolazione, di alta temperatura, elevata pressione atmosferica.

Nel seguente grafico sono riportati i valori della massima concentrazione della media mobile sulle 8 ore di ozono<sup>1</sup>. Il valore bersaglio per la protezione della salute umana è pari a  $120 \mu\text{g}/\text{m}^3$ . Nel seguente grafico sono riportati i massimi della media mobile su 8 ore rilevati durante tutto il periodo della campagna di monitoraggio. Non si sono registrati superamenti del valore bersaglio.

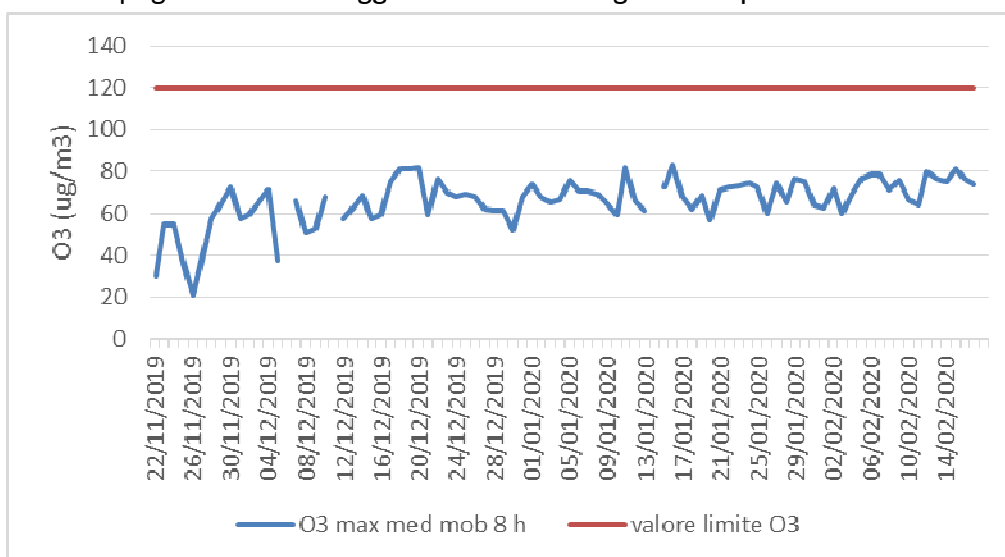


Figura 4. O<sub>3</sub>: valore massimo della media sulle 8 ore

#### 5. Benzene

Il benzene presente in atmosfera è originato dall'attività umana ed in particolare dall'uso di petrolio, oli minerali e loro derivati. In area urbana, la principale sorgente di benzene è

<sup>1</sup> Tale parametro è determinato sulla base dell'analisi dei dati orari ed aggiornate ogni ora. Ogni media su 8 ore così calcolata sarà assegnata al giorno nel quale finisce; in pratica, la prima fascia di calcolo per ogni singolo giorno è compresa tra le ore 17:00 del giorno precedente e le ore 01:00 del giorno in esame; l'ultima fascia temporale di calcolo, invece, è compresa tra le ore 16:00 e le ore 24:00 del giorno stesso.

rappresentata dalle emissioni dovute a traffico autoveicolare. Esso, infatti, è presente nelle benzine e, come tale, viene prodotto durante la combustione. La normativa italiana in vigore attualmente prevede che il tenore massimo sia pari all' 1%. Negli ultimi anni, con l'avvenuta formulazione di benzine aventi basso contenuto in benzene, si è osservato un graduale decremento del contributo della concentrazione di tale inquinante in atmosfera. Secondo la normativa vigente, il valore limite per la protezione della salute umana è fissato a  $5 \mu\text{g}/\text{m}^3$  su un periodo di mediazione di un anno civile.

Nel seguente grafico è riportato il valore della concentrazione media giornaliera registrata durante il periodo di monitoraggio. Il valore medio di concentrazione nel periodo della campagna di monitoraggio è stato pari a  $0,6 \mu\text{g}/\text{m}^3$ .

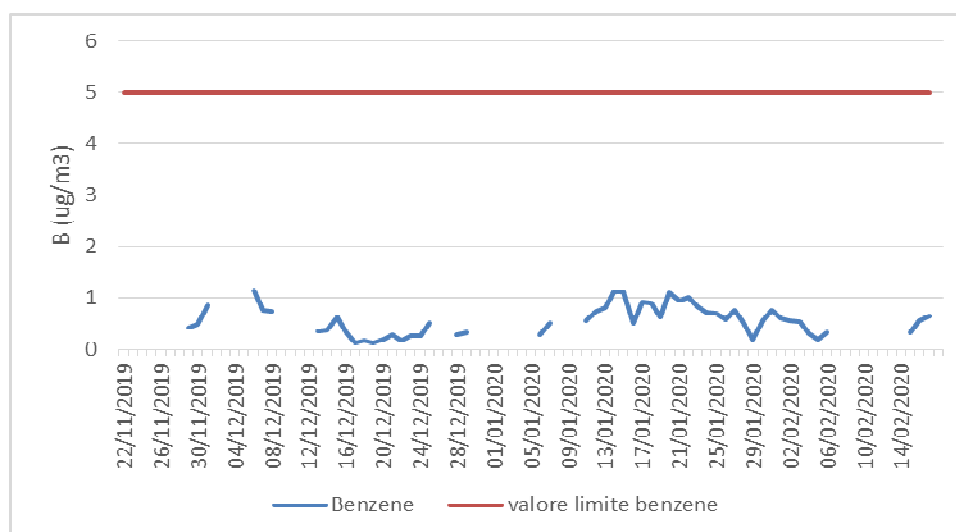


Figura 5a. Benzene: media giornaliera

Di seguito è mostrato il giorno tipo per il benzene. Dal grafico si evince come le concentrazioni maggiori, così come accade per l'NO<sub>2</sub>, vengono rilevate nelle ore di punta di traffico veicolare, ovvero alle 10 della mattina e tra le 20 e le 22 della sera, individuando così nel traffico veicolare la sorgente principale di questo inquinante.

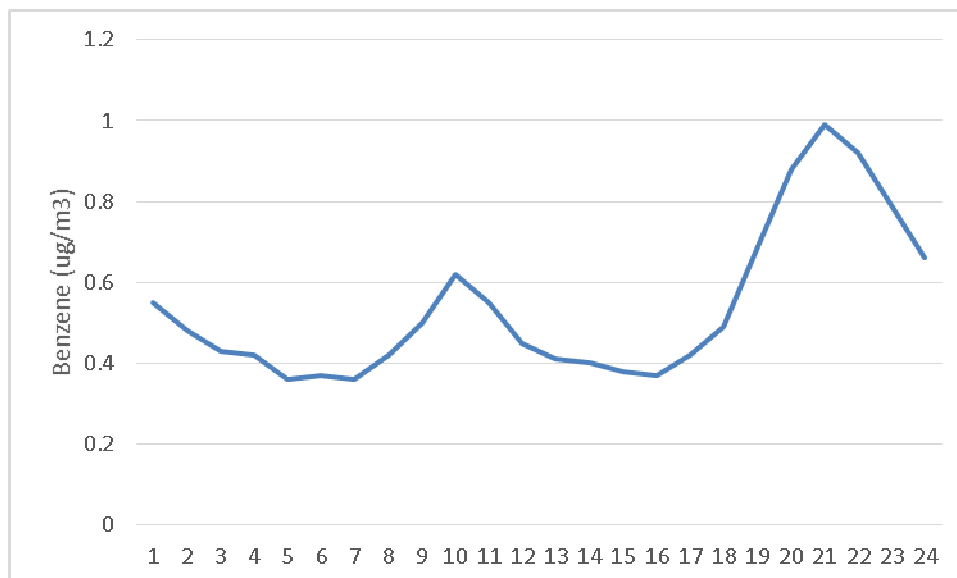


Figura 5b. Benzene: giorno tipo

## 6. SO<sub>2</sub>

Il biossido di zolfo deriva dalla combustione di combustibili fossili contenenti zolfo. In passato è stato un importante inquinante atmosferico poiché la sua ossidazione porta alla formazione di acido solforoso e solforico. Il biossido di zolfo è un gas incolore facilmente solubile in acqua.

Le fonti naturali, come i vulcani, contribuiscono ai livelli ambientali di anidride solforosa. Le emissioni antropogeniche sono invece legate all'uso di combustibili fossili contenenti zolfo per il riscaldamento domestico, la generazione di energia e nei veicoli a motore. Nel tempo il contenuto di zolfo nei combustibili è sensibilmente diminuito, portando i livelli di SO<sub>2</sub> in area ambiente a livelli estremamente bassi.

Nel periodo di monitoraggio non sono stati registrati superamenti del valore limite giornaliero, pari a 125 µg/m<sup>3</sup>, né della media oraria pari a 350 µg/m<sup>3</sup>. Le concentrazioni di biossido di zolfo rilevate sono di molto inferiori a tutti i limiti previsti dall'attuale normativa e testimoniano una riduzione dell'impiego di combustibili fossili contenenti zolfo (gasolio e olio combustibile) sia negli impianti di riscaldamento che nelle caldaie industriali, sostituiti progressivamente da impianti a metano e dal teleriscaldamento.

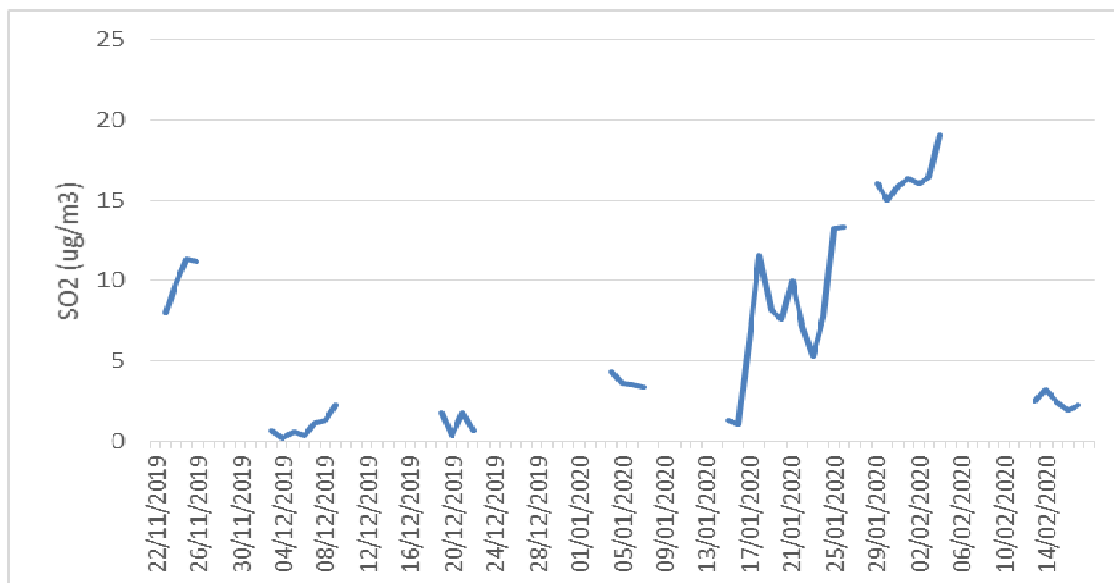


Figura 6. SO2: media giornaliera

## 7. CO

La principale sorgente di CO in area urbana è rappresentata dal traffico veicolare e in particolare dai gas di scarico dei veicoli a benzina. In particolare, la quantità emessa dagli scarichi dei veicoli a benzina è strettamente legata alle condizioni di funzionamento del motore. Si registrano, infatti, concentrazioni più elevate con motore al minimo ed in fase di decelerazione: condizioni tipiche di traffico urbano.

Il D. Lgs. 155/10 fissa un limite di  $10 \text{ mg/m}^3$  da calcolarsi come massimo della media mobile sulle 8 ore.

Nel seguente grafico sono riportati i valori della massima concentrazione della media mobile sulle 8 ore di CO. Come si nota, durante il periodo di monitoraggio non è stato mai superato il valore limite di  $10 \text{ mg/m}^3$

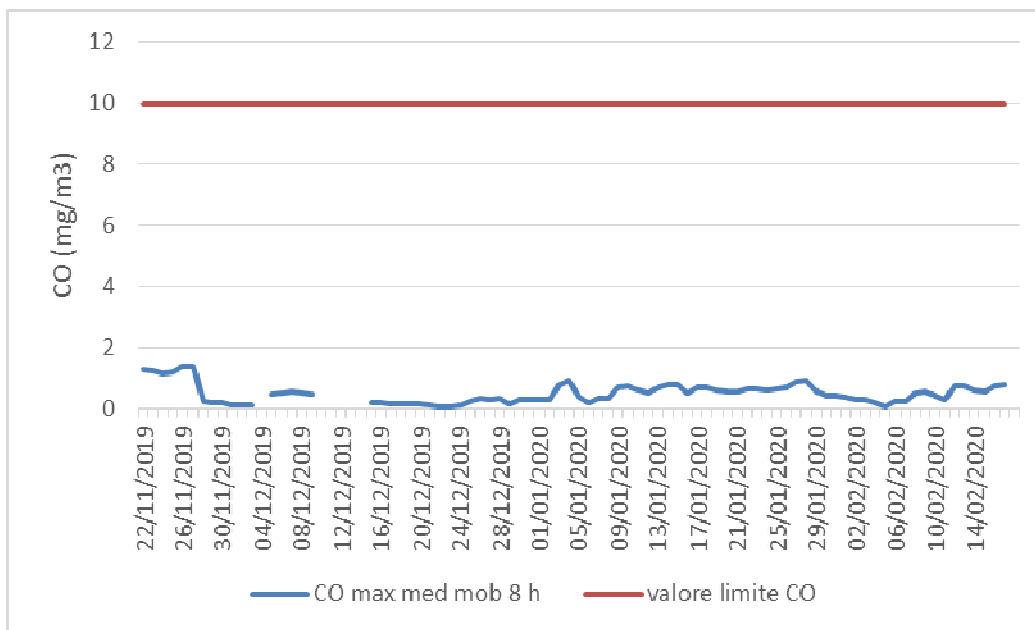


Figura 7. CO: massima media mobile sulle 8h

## 8 Conclusioni

La terza campagna di monitoraggio della qualità dell'aria richiesta dal Comune di Gioia del Colle è stata realizzata in Via Valerio Tango. Il monitoraggio, avviato il 22 novembre 2019, è terminato il 17 febbraio 2020. Sono stati monitorati i seguenti inquinanti: PM<sub>10</sub>, NO<sub>2</sub>, ozono, benzene, SO<sub>2</sub> e CO.

Per il PM<sub>10</sub> la concentrazione media registrata durante il periodo di monitoraggio è stata di 13 µg/m<sup>3</sup>, ampiamente inferiore al limite di legge posto a 40 µg/m<sup>3</sup>, calcolato su base annua. Durante il periodo di monitoraggio, inoltre, si è verificato un solo superamento del limite giornaliero di 50 µg/m<sup>3</sup>, poi sottratto in base alla Direttiva sulla Qualità dell'Aria 2008/50/CE in quanto imputabile a fenomeni di Saharan Dust.

La concentrazione media dell'NO<sub>2</sub>, per il quale la norma fissa un limite di 40 µg/m<sup>3</sup> sulla media annua, è stata di 16 µg/m<sup>3</sup>. La concentrazione oraria più elevata è stata di 60 µg/m<sup>3</sup>, inferiore al limite di 200 µg/m<sup>3</sup>.

Per gli altri inquinanti monitorati i livelli registrati sono stati ampiamente al di sotto ai valori limite previsti dalla normativa vigente. I grafici del giorno tipo hanno evidenziato come le concentrazioni maggiori di alcuni inquinanti si sono registrate durante le ore di punta di traffico veicolare.

Bari, Aprile 2020

## Allegato 1 – Efficienza di campionamento

Il D. Lgs. 155/10 (allegato VII e allegato XI) stabilisce i criteri utilizzati per la raccolta minima di dati di SO<sub>2</sub>, NO<sub>x</sub>, PM<sub>10</sub>, Ozono, Benzene e CO necessaria per raggiungere gli obiettivi per la valutazione della qualità dell'aria, per misurazioni in continuo. La tabella che segue riporta la percentuale di dati orari validi registrati dagli analizzatori presenti nel laboratorio mobile. Si evidenzia che si tratta di un'informazione indicativa del livello di efficienza della strumentazione, non essendo questo dato raffrontabile con alcun parametro normativo.

Parametro	Percentuale richiesta di dati validi
Valori su 1 ora	75 % (ossia 45 minuti)
Valori su 8 ore	75 % dei valori (ovvero 6 ore)
Valore medio massimo giornaliero su 8 ore	75 % delle concentrazioni medie consecutive su 8 ore calcolate in base a dati orari (ossia 18 medie su 8 ore al giorno)
Valori su 24 ore	75 % delle medie orarie (ossia almeno 18 valori orari)
MEDIA annuale	90 % <sup>(1)</sup> dei valori di 1 ora o (se non disponibile) dei valori di 24 ore nel corso dell'anno

<sup>(1)</sup> La prescrizione per il calcolo della media annuale non comprende le perdite di dati dovute alla calibrazione periodica o alla manutenzione ordinaria della strumentazione.

Tabella 1: dall'allegato XI del D. Lgs. 155/2010 – paragrafo 2: *Criteri per la verifica dei valori limite*

	% dati orari validi
<b>PM<sub>10</sub></b>	88
<b>NO<sub>2</sub></b>	87
<b>Benzene</b>	70
<b>Ozono</b>	93
<b>CO</b>	86
<b>SO<sub>2</sub></b>	62

Tabella 2: Efficienza degli analizzatori



## Allegato 2 – informazioni sulla strumentazione e sulle metodologie utilizzate

Gli analizzatori presenti sul laboratorio mobile realizzano l'acquisizione, la misura e la registrazione dei risultati in modo automatico (gli orari indicati si riferiscono all'ora solare). Le concentrazioni rilevate sono normalizzate ad una temperatura di 20°C ed una pressione di 101,3 kPa ai sensi del D. Lgs 155/2010.

Qui di seguito sono riportati sia i principi di funzionamento, sia il modello di ciascun analizzatore.

PM10: assorbimento di raggi  $\beta$  con sorgente emettitrice radioattiva al  $^{14}\text{C}$  (MP101M)

NOx/NO: chemiluminescenza con generatore di ozono (Teledyne API)

Benzene: gascromatografia

O3: assorbimento raggi UV con lampada UV come sorgente luminosa (Teledyne API)

SO2: fluorescenza (Teledyne API)

CO: assorbimento IR (Teledyne API)